

УДК 539.194

## ОТНОСИТЕЛЬНО ИНТЕРКОМБИНАЦИОННОГО ПЕРЕХОДА МОЛЕКУЛЫ N<sub>2</sub>

*И. Ковач*

Показано, что при обработке экспериментальных данных с помощью новых исправленных формул для распределения интенсивности линий полосы 7-0 перехода  $B' \ ^3\Sigma_u^- \leftarrow X \ ^1\Sigma_g^+$  молекулы N<sub>2</sub> расхождение между теоретическими и экспериментальными результатами исключается.

Проблема вычисления распределения интенсивности интеркомбинационных переходов впервые рассмотрена в работе Шлаппа<sup>[1]</sup>. Им получены формулы для сил осцилляторов линий переходов  $^1\Sigma - ^3\Sigma$ ,  $^1\Sigma - ^3\Pi$  (*a*),  $^1\Sigma - ^3\Pi$  (*b*),  $^1\Sigma - ^3\Delta$  (*a*),  $^1\Sigma - ^3\Delta$  (*b*) с учетом спин-орбитального взаимодействия. Формулы для сил осцилляторов ряда других интеркомбинационных переходов получены Ван Флеком<sup>[2]</sup> ( $^1\Delta - ^3\Sigma$ ), Будо<sup>[3]</sup> [ $^1\Sigma - ^3\Pi$  (*a*—*b*)], Ковачем<sup>[4]</sup> ( $^1\Sigma - ^3\Delta$  (*a*—*b*)),  $^1\Pi - ^3\Delta$  (*a*—*b*), а для всех остальных переходов в монографии Ковача<sup>[5]</sup>.<sup>1</sup> Кроме того, Ван Флеком<sup>[2]</sup> и Чиу<sup>[6]</sup> показано, что в случае переходов  $^1\Delta - ^3\Sigma$  и  $^1\Pi - ^3\Pi$  (*a*),  $^1\Pi - ^3\Pi$  (*b*) соответственно, учет магнитно-дипольных переходов независимо от свойств симметрии приводит к тем же результатам, что и спин-орбитальное взаимодействие. Вышеупомянутые формулы в большинстве случаев приводят к хорошему согласию с экспериментальными данными. Однако в случае  $\Sigma$ -термов одинаковой симметрии, особенно в случае перехода  $^1\Sigma - ^3\Sigma$  молекулы O<sub>2</sub>, Шлапп<sup>[1]</sup> нашел значительное несогласие между результатами вычислений и экспериментальными результатами Чайльда и Мекке<sup>[7]</sup>. Позднее расхождения найдены также в случае  $\Sigma$ -термов разной симметрии (для перехода  $^1\Sigma^+ - ^3\Sigma^-$  молекулы N<sub>2</sub> — Тильфордом, Ван дер Слайсом и Вилькинсоном<sup>[8]</sup>; молекулы SO — Колином<sup>[9]</sup>; молекулы HCP — Джонсом, Шэрвэллом и Тайлором<sup>[10]</sup>).

В поисках причин этих расхождений в случае переходов между  $\Sigma$ -термами одинаковой симметрии Шлапп<sup>[11]</sup> и позднее Тильфорд и др.<sup>[8]</sup> получили новые формулы для интенсивностей с учетом эффектов спин-спинового взаимодействия. Однако в случае переходов  $\Sigma$ -термами разной симметрии для интерпретации расхождений между экспериментальными и теоретическими результатами учет только спин-спинового взаимодействия недостаточен.

Наконец, Уотсон<sup>[12]</sup> показал, что Шлапп в своей работе<sup>[1]</sup> допустил ошибку в учете относительных фаз двух электрических моментов переходов  $^1\Sigma^\pm - ^3\Sigma^\mp$ , и поэтому его результаты ошибочны. Эта ошибка в фазах повторяется в работе<sup>[8]</sup>, и, следовательно, приведенные там измененные формулы также неверны. Уотсон<sup>[12]</sup> исправил формулу Шлаппа, а Ковач<sup>[5]</sup> дал исправленную формулу работы<sup>[8]</sup>, учитываящую изменение спин-спинового взаимодействия.

<sup>1</sup> Буквы *a*, *b* и *a*—*b* в скобках указывают на принадлежность соответствующего терма к случаям Гунда *a*, *b* и промежуточному случаю *a* и *b*.

В литературе ошибочные формулы работы [8] несправедливо приписываются автору этой статьи (Уотсон [12], Даглесс и Джонс [13], Колин и Джонс [14]), в то время как полученные в [5] исправленные формулы имеют вид, указанный в табл. 1, где

$$U^\pm(J) = \frac{\lambda}{B} - 1 \pm \sqrt{2 \frac{\lambda}{B} \left( \frac{\lambda}{2B} - 1 \right) + (2J+1)^2}, \quad (1)$$

$B$  — вращательная постоянная терма  ${}^3\Sigma$ ,  $\lambda = \frac{3\varepsilon}{2}$ ,  $\varepsilon$  — постоянная спин-спинового взаимодействия,  $\rho = \frac{\bar{B}}{\sqrt{2}A}$ ,  $A$  и  $\bar{B}$  — линейные комбинации компонентов электрических моментов перехода (см. Шлапп [1]). Формулы табл. 1 значительно отличаются от формул Шлаппа, исправленных Уотсоном, при условии  $\varepsilon$  или  $\lambda \gg B$ , которое соответствует переходу терма  ${}^3\Sigma$  от случая  $b$  к случаю  $a$  по Гунду.

Тильфорд и др. [8] применили свои неправильные формулы к интенсивности полосы 7—0 перехода  $B' {}^3\Sigma_u^- \leftarrow X {}^1\Sigma_g^+$  молекулы N<sub>2</sub> и показали, что, хотя для  ${}^8R$ -,  $Q$ - и  ${}^0P$ -ветвей вычисленные интенсивности согласуются с наблюдаемыми, теория дает почти в два раза завышенное значение интенсивности, суммы  ${}^0P + {}^0R$ -ветвей, измеренной совместно вследствие их наложения. Однако если использовать формулы табл. 1 или исправленные формулы Уотсона (в случае молекулы N<sub>2</sub>,  $\frac{\lambda}{B} = 0.48$ )

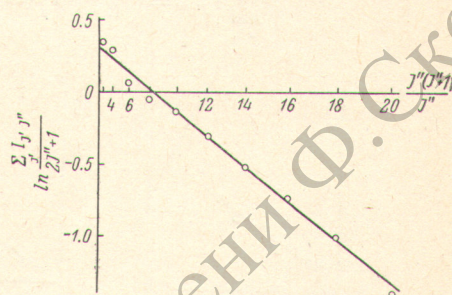


Рис. 1. Величина  $\frac{hc}{kT} F_{J''} + \text{const}$  как функция  $J'' (J'' + 1)$ .

Таблица 1

Формулы распределения интенсивности для переходов

${}^1\Sigma \rightarrow {}^3\Sigma$

$\Delta' - \Delta''$	$\Delta'' - \Delta'$	${}^1\Sigma \pm' - {}^3\Sigma \mp''$	$\Delta' - \Delta''$	$\Delta'' - \Delta'$	${}^1\Sigma \pm' - {}^3\Sigma \pm''$
${}^0P(J)$	${}^8R(J-1)$	$\frac{J[2(J+1)+\rho U^-(J)]^2}{2[4J(J+1)+U^-(J)^2]}$			
${}^0R(J)$	${}^0P(J+1)$	$\frac{(J+1)[2J-\rho U^-(J)]^2}{2[4J(J+1)+U^-(J)^2]}$	${}^PQ(J)$	${}^RQ(J)$	$\frac{2J(J+1)(2J+1)}{4J(J+1)+U^-(J)^2}$
${}^0Q(J)$	$Q(J)$	$\frac{2J+1}{2}$	$P(J)$	$R(J-1)$	$\frac{J+1}{2}$
${}^0P(J)$	${}^0R(J-1)$	$\frac{J[2(J+1)+\rho U^+(J)]^2}{2[4J(J+1)+U^+(J)^2]}$	$R(J)$	$P(J+1)$	$\frac{J}{2}$
${}^0R(J)$	${}^0P(J+1)$	$\frac{(J+1)[2J-\rho U^+(J)]^2}{2[4J(J+1)+U^+(J)^2]}$	${}^RQ(J)$	${}^PQ(J)$	$\frac{2J(J+1)(2J+1)}{4J(J+1)+U^+(J)^2}$

и расхождение между результатами расчета по этим двум формулам составляет около 1%, то, как мы увидим ниже, эти расхождения исключаются.

Если обозначить  $I_{J'J''}$  интенсивность и  $S_{J'J''}$  — силу линии, то

$$I_{J'J''} = S_{J'J''} \text{const} \exp\left(-\frac{\hbar c F_{J''}}{kT}\right), \quad (2)$$

где  $F_{J''}$  — энергия терма, зависящая от вращательного квантового числа  $J''$ . Из формул табл. 1 легко видеть, что в случае переходов между уровнями  $\Sigma$ -термов различной симметрии

$$\sum_{J'} I_{J'J''} = \left(\frac{\rho^2}{2} + 1\right) (2J'' + 1) \text{const} \exp\left(-\frac{\hbar c F_{J''}}{kT}\right), \quad (3)$$

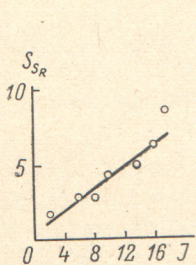


Рис. 2. Величины сил линий  ${}^sR$ -ветви для переходов  $B' {}^3\Sigma_u^- \leftarrow X^1\Sigma_g^+$  молекулы  $N_2$ .

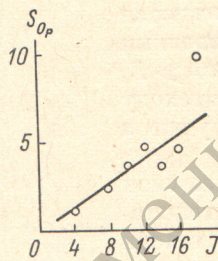


Рис. 3. Величины сил линий  ${}^0P$ -ветви для переходов  $B' {}^3\Sigma_u^- \leftarrow X^1\Sigma_g^+$  молекулы  $N_2$ .

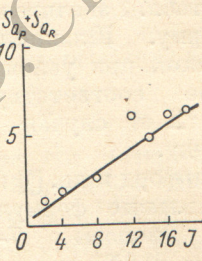


Рис. 4. Суммарные величины сил линий  ${}^0P$ - и  ${}^0R$ -ветвей для переходов  $B' {}^3\Sigma_u^- \leftarrow X^1\Sigma_g^+$  молекулы  $N_2$ .

В случае молекулы  $N_2$  в хорошем приближении  $\frac{\rho^2}{2} + 1 \approx 1$  и мы получаем

$$\ln \frac{\sum_{J'} I_{J'J''}}{2J'' + 1} \approx -\frac{\hbar c}{kT} F_{J''} + \text{const.} \quad (4)$$

Из формул табл. 1 также получается

$$\ln \frac{2(I_{s_R} + I_{0_P} + I_{Q_R} + I_{0_Q})}{2J'' + 1} \approx \ln \frac{2I_Q}{2J'' + 1} = -\frac{\hbar c}{kT} F_{J''} + \text{const.} \quad (5)$$

На основании экспериментальных измерений<sup>[8]</sup> (табл. 2) с учетом того, сколько данных имеется для каждого значения  $J$  (выбор веса при вычислении методом наименьших квадратов проводится на этом основании), мы определяем правую часть (4) и (5) для всех заданных значений  $J''(J'' + 1)[F_{J''} \sim J''(J'' + 1)]$  (рис. 1) и тем самым значения  $\text{const} \exp \times \left(-\frac{\hbar c F_{J''}}{kT}\right)$ . Если измеренные интенсивности  $I_{s_R}$ ,  $I_{0_P}$ ,  $I_{Q_R} + I_{0_Q}$  и  $I_Q$  разделить на определенные здесь из сглаженных кривых (4) или (5) значения фактора  $\text{const} \exp \left(-\frac{\hbar c}{kT} F_{J''}\right)$ , мы получим измеренные значения сил линий  $S_{s_R}$ ,  $S_{0_P}$ ,  $S_{Q_R} + S_{0_Q}$  и  $S_Q$ , которые приведены на рис. 2—5 кружочками. Сплошные кривые представляют теоретические силы линий, вычисленные при помощи формул табл. 1 с  $\rho = -0.18 \text{ см}^{-1}$ . Как видно

из этих рисунков, теоретические и экспериментальные результаты согласуются не только для <sup>8</sup>R-, Q- и <sup>0</sup>P-ветвей, но также и для суммы <sup>0</sup>P + <sup>8</sup>R-ветвей.

Работа выполнена в Институте спектроскопии АН СССР.

Таблица 2

Распределение интенсивности полосы 7—0 перехода  
 $B' 3\Sigma_u^- \leftarrow X^1\Sigma_g^+$  молекулы N<sub>2</sub>  
 по Тилфорду, Ван дер Слайсу  
 и Вилькинсону [8]

J	$I_Q$	$I_{8R}$	$I_{0P}$	$I_{QP} + I_{QR}$
2	4.2	3.3	—	2.6
4	—	—	2.0	3.3
6	7.7	3.9	—	—
8	6.7	2.9	2.6	2.9
10	6.5	3.3	2.8	—
12	4.8	—	2.3	3.1
14	4.6	1.5	1.1	1.5
16	3.2	1.1	0.8	1.1
18	1.3	0.8	0.9	0.6
20	0.8	—	—	—

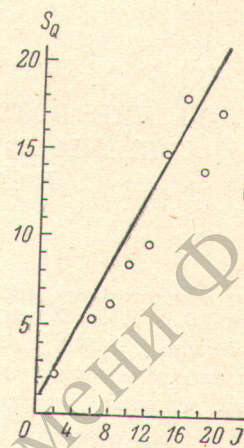


Рис. 5. Величины сил линий Q-ветви для переходов  $B' 3\Sigma_u^- \leftarrow X^1\Sigma_g^+$  молекулы N<sub>2</sub>.

### Литература

- [1] R. Schlaupp. Phys. Rev., 39, 806, 1932.
- [2] J. H. Van Vleck. Astrophys. J., 80, 161, 1934.
- [3] A. Budó. Z. Phys., 105, 579, 1937.
- [4] I. Kovács. Canad. J. Phys., 38, 955, 1960.
- [5] I. Kovács. Rotational Structure in the Spectra of Diatomic Molecules. Akadémiai Kiadó, Budapest and Adam Hilger, Ltd. London, 1969.
- [6] G. N. Chiu. J. Chem. Phys., 41, 3235, 1964.
- [7] W. H. J. Childs, R. Mecke. Z. Phys., 68, 344, 1931.
- [8] S. G. Tilford, J. T. Vanderslice, P. G. Wilkinson. Astrophys. J., 141, 1226, 1965.
- [9] R. Colin. Предварительное сообщение Уотсону (1967), из ссылки [12].
- [10] J. W. C. Johns, H. F. Shurvell, J. K. Tyler. Предварительное сообщение Уотсону (1967), из ссылки [12].
- [11] R. Schlaupp. Phys. Rev., 51, 342, 1937.
- [12] J. K. C. Watson. Canad. J. Phys., 46, 1637, 1968.
- [13] A. E. Douglas, W. E. Jones. Canad. J. Phys., 44, 2251, 1966.
- [14] R. Colin, W. E. Jones. Canad. J. Phys., 45, 301, 1967.

Поступило в Редакцию 26 июня 1969 г.